

---

# ETI

## Filtrage analogique

I – Introduction

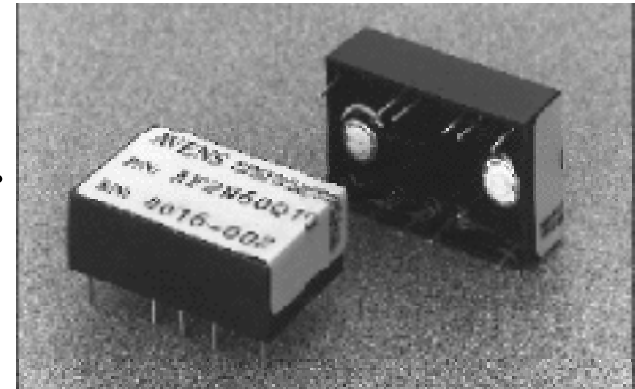
II – Etude des filtres de Butterworth et de Chebychev

III – Filtres actifs

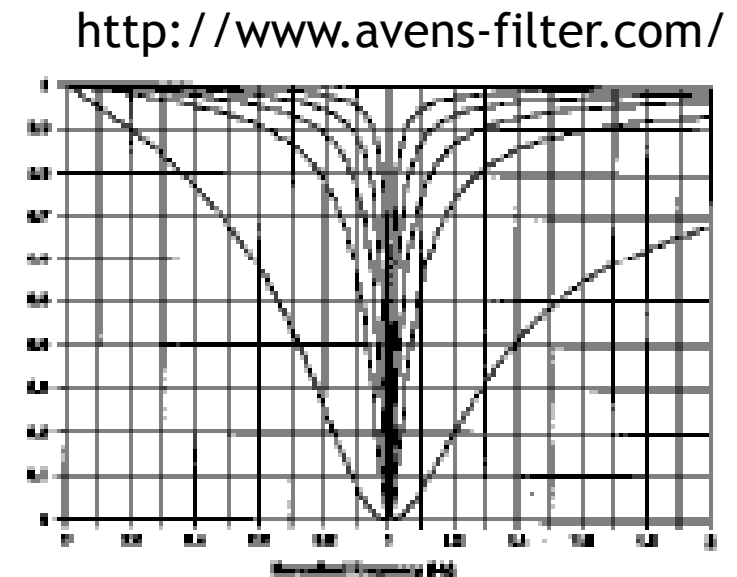
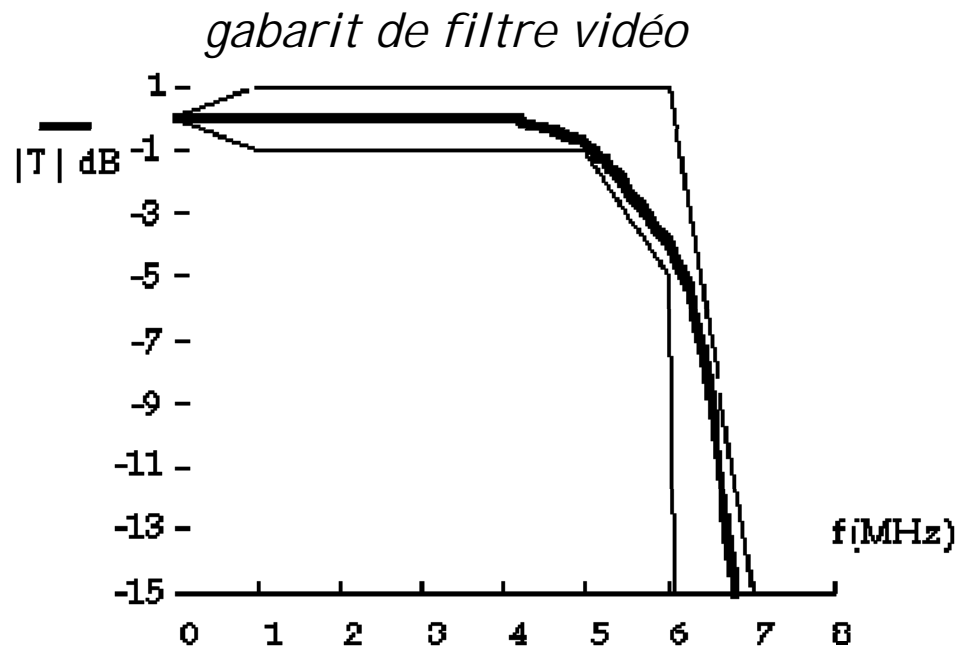
IV – Filtres à capacités commutées

# Domaines d'application

- ✓ Traitement de signaux audio, vidéo, radio...
- ✓ Télécommunications, télémétrie...
- ✓ Instrumentation scientifique, médicale, radars...
- ✓ Acquisition numérique de données  
(anti-repliement)
- ✓ Réjection de bruit (alimentation électrique...)
- ...



Miniature Filters  
Active/Bandpass/Band-Reject



# Introduction

TYPE	COMPOSANTS	SPECIFITES
<b>Filtre numérique</b>	Circuits logiques intégrés	<ul style="list-style-type: none"> <li>▶ Signaux numérisés</li> <li>▶ <math>F &lt; 100\text{MHz}</math></li> <li>▶ convient en grande série</li> <li>▶ entièrement programmable</li> </ul>
<b>Filtres passifs</b>	Circuit discret L et C, Composants piézoélectriques (quartz)	<ul style="list-style-type: none"> <li>▶ F élevée</li> <li>▶ pas d'alimentation</li> <li>▶ non intégrable</li> </ul>
<b>Filtres actifs</b>	AIL, R et C	<ul style="list-style-type: none"> <li>▶ <math>F &lt; 1\text{ MHz}</math></li> <li>▶ besoin d'alimentation</li> <li>▶ tension filtrée faible <math>&lt; 12\text{V}</math></li> </ul>
<b>Filtres à capacité commutée</b>	AIL, Interrupteur commandé MOS, R et C intégré	<ul style="list-style-type: none"> <li>▶ <math>F &lt; \text{qq MHz}</math></li> <li>▶ besoin d'alimentation</li> <li>▶ intégrable</li> <li>▶ fréquence programmable</li> </ul>

<http://ressource.electron.free.fr/bts/cours/le-filtrage-actif-passif.pdf>

AIL : Amplificateur Intégré Linéaire

# Introduction

## Historique :

1920-1960 : filtres passifs RLC

1960 : filtres actifs avec ALI

1970 : circuits intégrés (→VLSI)

1980 : filtres numériques, DSP

1980 : filtres analogiques



< filtre passif LC séparateur de voies  
pour enceinte acoustique

filtre passif céramique passe-bande >  
centré sur 10,7 MHz  
pour étage fi de récepteur FM



# Généralités

Soit un signal  $u(t)$  comprenant plusieurs composantes sinusoïdales. Un filtre est un dispositif dont la fonction de transfert complexe  $\underline{T}$  permet d'isoler certaines composantes en éliminant les composantes de fréquences indésirables.

Pour qu'un filtre ne *déforme* pas les signaux compris dans une certaine bande passante (BP), il faut réunir deux conditions :

1-Le module de la fonction de transfert doit être le plus constant possible dans la BP

2-Le temps de propagation de groupe  $t_g$  doit être le plus constant possible dans la BP

Par définition,  $t_g = -\frac{d\phi(\omega)}{d\omega}$  => phase  $\phi$  linéaire

Si de plus  $|\underline{T}|=0$  pour les fréquences à éliminer, alors le filtre est idéal.

En pratique, on se contente d'approcher ce filtre idéal. La réalisation de filtres se fait à partir de polynômes d'approximation optimisant au mieux les contraintes demandées puis d'un éventuel ajout en cascade d'un correcteur de phase.

- une BP plate au maximum pour les filtres de **Butterworth**
- une bande de transition étroite au dépend d'une ondulation dans la BP pour les filtres de **Chebyshev**
- une phase linéaire dans la BP pour les filtres de **Bessel**
- autres filtres (Chebyshev de type II, Cauer ...)

# Caractérisation d'un filtre

---

Pour une étude complète :

Réponse fréquentielle :

=>Diagrammes de Bode

-module de la fonction de transfert

- $t_g$

Réponse temporelle :

-réponse impulsionnelle

-réponse indicielle

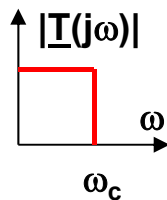
# Notations

## Notations :

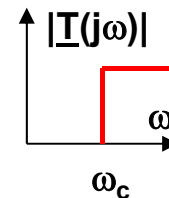
Fonction de transfert complexe :  $\underline{I}(j\omega)$

Module :  $T(\omega) = |\underline{I}(j\omega)|$

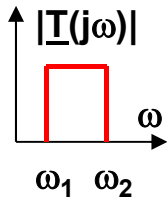
Gain en dB :  $G_{dB} = 20 \cdot \log T(\omega)$



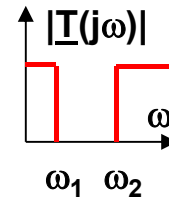
Filtre passe-bas



Filtre passe-haut



Filtre passe-bande



Filtre coupe-bande

Etude précise des filtres passe-bas  
Il suffira d'effectuer des changements de variables pour les autres filtres

Bonne connaissance des filtres passe-bas d'ordre 1 et 2

# Rappels sur les filtres passe-bas

## Passe-bas 1<sup>er</sup> ordre

$$\underline{T}(j\omega) = \frac{1}{1 + j\frac{\omega}{\omega_c}}$$

$\omega_c$  est la fréquence de coupure à -3 dB

## Passe-bas 2<sup>nd</sup> ordre

$$\underline{T}(j\omega) = \frac{1}{1 + 2jm\frac{\omega}{\omega_0} + \left(j\frac{\omega}{\omega_0}\right)^2} = \frac{1}{1 + \frac{j}{Q}\frac{\omega}{\omega_0} + \left(j\frac{\omega}{\omega_0}\right)^2}$$

$m$  est le facteur d'amortissement

$Q$  est le facteur de qualité

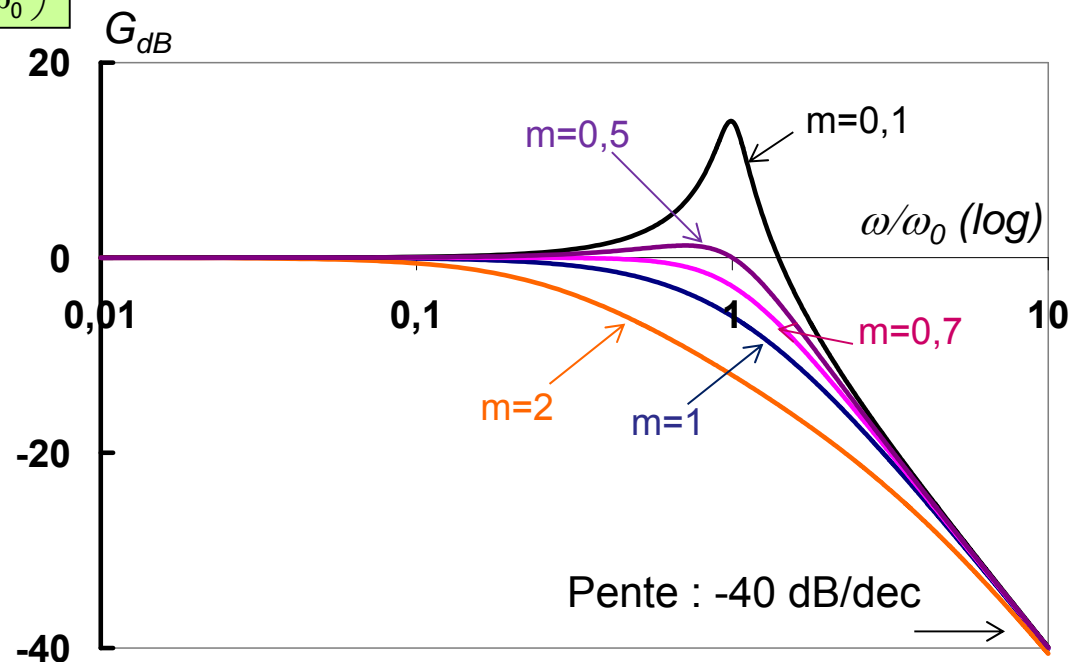
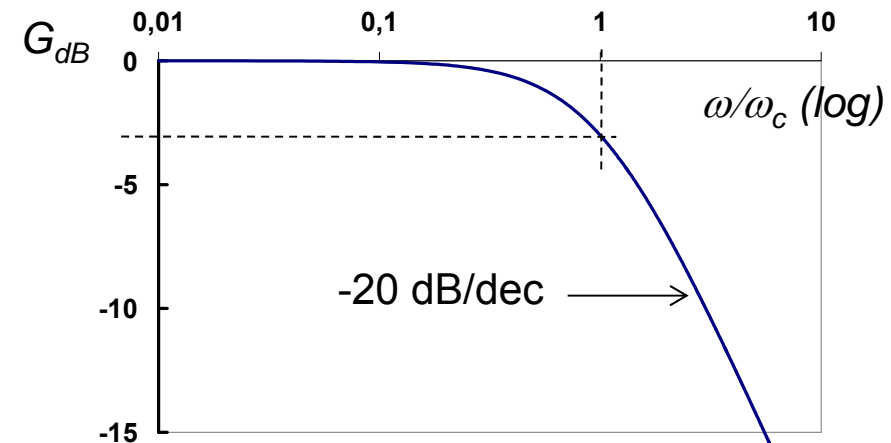
$\omega_0$  est la fréquence propre

$0 < m < 0,7$  : résonance à  $\omega_r = \omega_0 \sqrt{1 - 2m^2}$

$m > 0,7$  : il n'y a plus de résonance

$m = 0,7$  : réponse la plus plate dans la BP

$m \geq 1$  :  $T$  est décomposable en un produit de 1<sup>er</sup> ordre



# Notion de gabarit

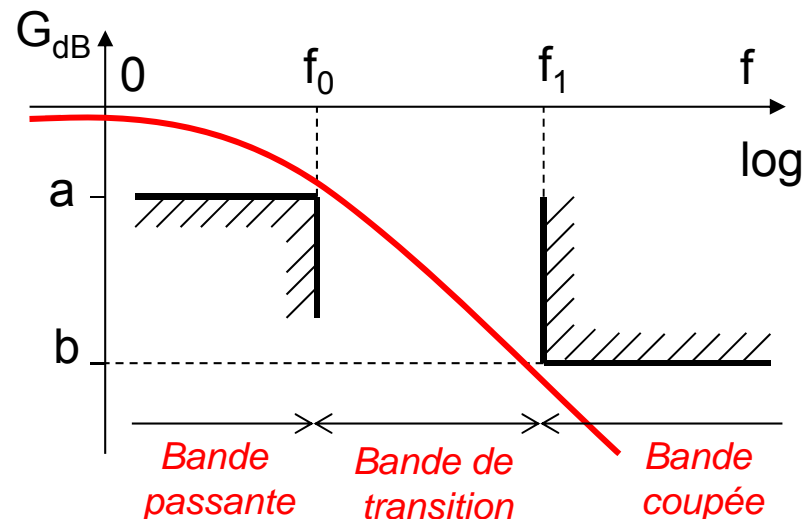
## Cahier des charges :

Construire un filtre *passé-bas* qui ne transmet que les signaux de fréquence  $<$  à  $f_0$ .

$G_{dB}$  doit posséder :

- une valeur minimale **a** dans la bande de fréquences à transmettre
- une valeur maximale **b** dans la bande de fréquences à éliminer

-Le gabarit est caractérisé par 2 points  $(f_0, a)$  et  $(f_1, b)$ .



Autres spécifications possibles d'un gabarit :

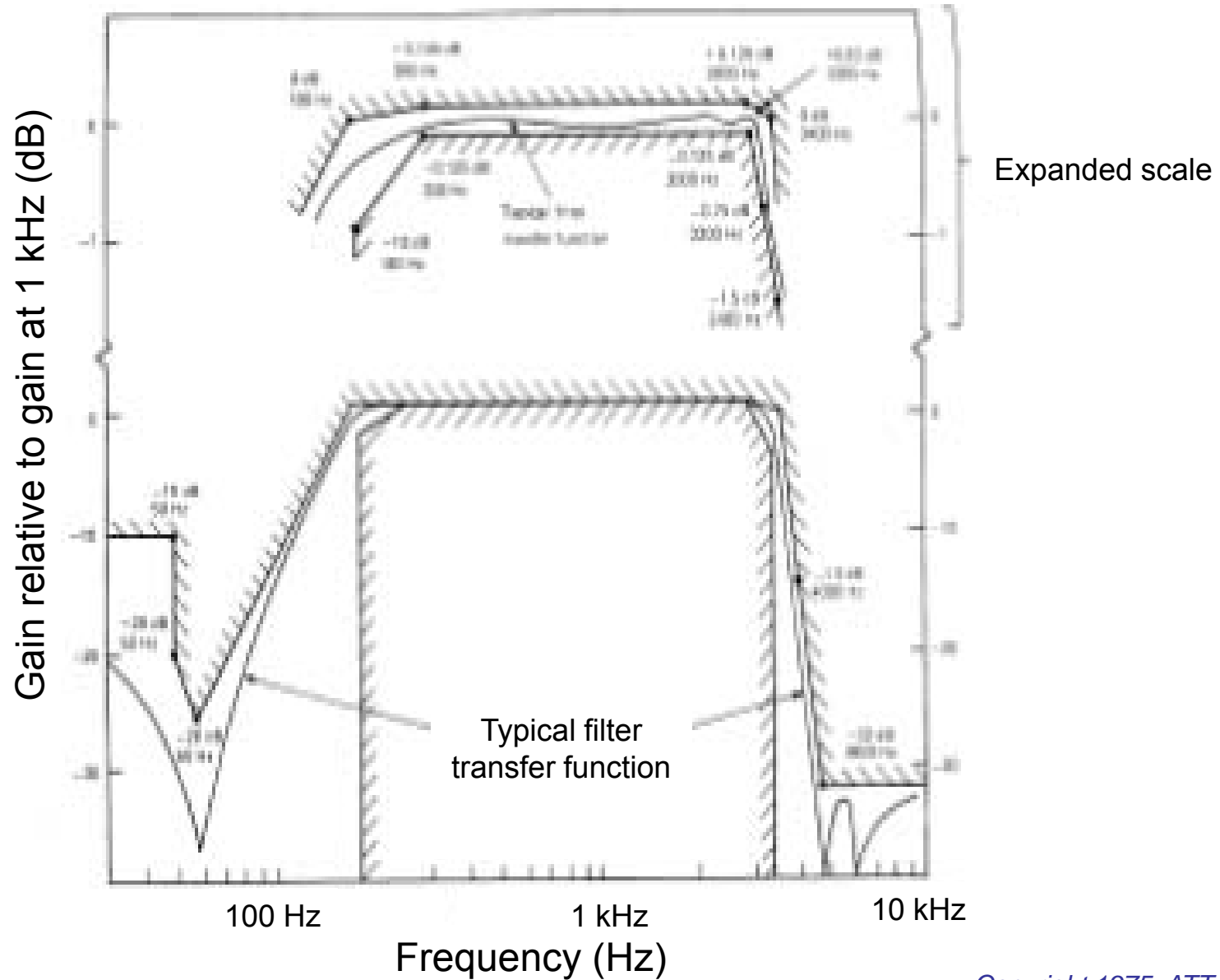
Ondulation dans la BP

Largeur de la bande de transition

Etc ...

Utilisation d'approximations de filtres réels :  
**Butterworth, Chebychev, Bessel, Cauer ...**

# Ex : Gabarit de transmission téléphonique



---

# Filtrage analogique

I – Introduction

II – Etude des filtres de Butterworth et de Chebychev

III – Filtres actifs

IV – Filtres à capacités commutées

# Filtres de Butterworth

Utilisé pour sa réponse extrêmement plate dans la BP

Le module de la fonction de transfert  $T(\omega)$  est cherché sous la forme :

$$T(\omega) = \frac{1}{\sqrt{1 + \left(\frac{\omega}{\omega_c}\right)^{2n}}} \quad \text{où } \underline{n \text{ est l'ordre du filtre}}$$

La réponse fréquentielle est normalisée par rapport à la pulsation de coupure (ou caractéristique)  $\omega_c$  pour laquelle l'atténuation est de -3 dB

On pose  $x = \omega/\omega_c$ .

$$T(x) = \frac{1}{\sqrt{1 + x^{2n}}}$$

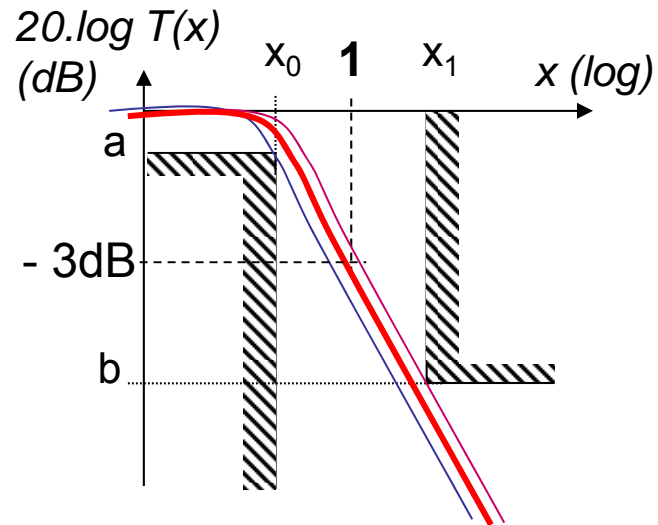
Pour  $x=1$  :  $20 \cdot \log T(x) = -3 \text{ dB}$

Quel que soit  $n$ , toutes les courbes passent par -3dB pour  $x=1$ , soit  $f=f_c$

Pour  $x < 1$  :  $20 \cdot \log T(x) > -3 \text{ dB}$

La fréquence de coupure est définie à -3dB quel que soit  $n$

# Détermination de n et $f_c$ : cas général



$$x = f / f_c$$

n = ordre du filtre

$$a \geq -3 \text{ dB}$$

$$T(x) = \frac{1}{\sqrt{1 + x^{2n}}}$$

Conditions limites :

$$\begin{cases} 20.\log T(x_0) > a \\ 20.\log T(x_1) < b \end{cases} \Leftrightarrow \begin{cases} x_0^{2n} < 10^{-a/10} - 1 & (1) \\ x_1^{2n} > 10^{-b/10} - 1 & (2) \end{cases}$$

(2) divisé par (1) donne la valeur de n minimum.

En pratique on prend la plus petite valeur entière de n qui satisfait :

$$n \geq \frac{1}{2} \frac{\log \left( \frac{10^{-a/10} - 1}{10^{-b/10} - 1} \right)}{\log(f_0/f_1)}$$

On calcule alors avec (1) et (2) les fréquences de coupure limites :

$$f_{c,0} = \frac{f_0}{(10^{-a/10} - 1)^{1/2n}}$$

$$f_{c,1} = \frac{f_1}{(10^{-b/10} - 1)^{1/2n}}$$

On choisit la fréquence de coupure au « milieu » (moyenne géométrique) :  $f_c = \sqrt{f_{c,0} f_{c,1}}$

# Fonction de transfert

But : trouver une fraction rationnelle complexe  $\underline{T}(s)$  (avec  $s=jx$ ) qui admette  $T(x)$  comme module.

$$T(x) = \frac{1}{\sqrt{1+x^{2n}}}$$

Méthode : on factorise le polynôme  $P(x) = 1 + x^{2n}$

On montre que  $P(x)$  apparaît ainsi comme le carré du module du polynôme  $\underline{P}(s)$  suivant ( $n$  impair) :

$$\underline{P}(s) = (1+s)(a^2+b^2+2bs+s^2)(\dots)$$

La fonction de transfert normalisée s'écrit alors :

$$\underline{T}(s) = \frac{1}{\underbrace{(1+s)}_{\text{si } n \text{ est impair}}(a^2 + b^2 + 2bs + s^2)(\dots)}$$

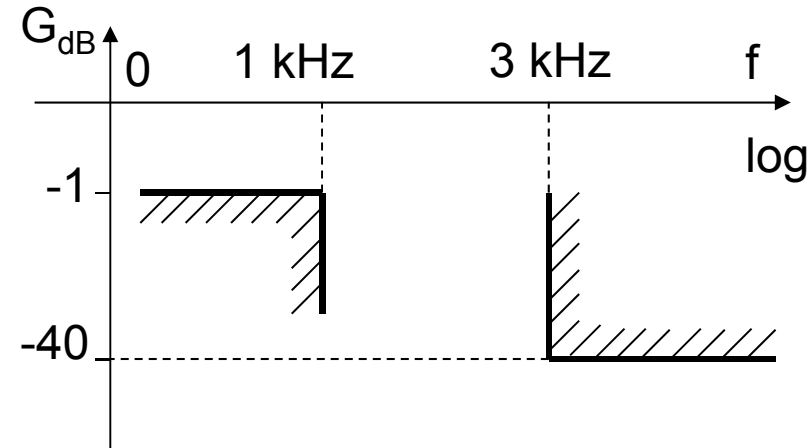
En pratique, l'expression de  $\underline{P}(s)$  donc de  $\underline{T}(s)$  ne dépend que de l'ordre  $n$  du filtre => utilisation de tables pour les coefficients

## Quelques polynômes de Butterworth

$n$	$P(s)$
1	$(1 + s)$
2	$(1 + 1.414s + s^2)$
3	$(1 + s)(1 + 1.000s + s^2)$
4	$(1 + 1.848s + s^2)(1 + 0.765s + s^2)$
5	$(1 + s)(1 + 1.618s + s^2)(1 + 0.618s + s^2)$
6	$(1 + 1.932s + s^2)(1 + 1.414s + s^2)(1 + 0.518s + s^2)$
7	$(1 + s)(1 + 1.802s + s^2)(1 + 1.247s + s^2)(1 + 0.445s + s^2)$
8	$(1 + 1.962s + s^2)(1 + 1.663s + s^2)(1 + 1.111s + s^2)(1 + 0.390s + s^2)$
9	$(1 + s)(1 + 1.879s + s^2)(1 + 1.532s + s^2)(1 + 1.000s + s^2)(1 + 0.347s + s^2)$
10	$(1 + 1.975s + s^2)(1 + 1.782s + s^2)(1 + 1.414s + s^2)(1 + 0.908s + s^2)(1 + 0.313s + s^2)$

## Exemple récapitulatif

Déterminer la fonction de transfert du filtre passe-bas de Butterworth qui satisfait au gabarit suivant :



- 1) Détermination de l'ordre :  $n > 4,8$  donc on choisit  $n=5$
- 2) Fréquences de coupure :  $f_{c,0}=1,145$  kHz ;  $f_{c,1}=1,194$  kHz d'où  $f_c=1,17$  kHz
- 3) Détermination de la fonction de transfert normalisée à partir de la table :

$$\underline{T}(s) = \frac{1}{(1+s)(1+1,618s+s^2)(1+0,618s+s^2)}$$

- 4) Fonction de transfert :  $\underline{T}(j\omega) = \frac{1}{\left(1+j\frac{\omega}{\omega_c}\right)\left(1+1,618j\frac{\omega}{\omega_c}+\left(j\frac{\omega}{\omega_c}\right)^2\right)\left(1+0,618j\frac{\omega}{\omega_c}+\left(j\frac{\omega}{\omega_c}\right)^2\right)}$

$$\underline{T}(jf) = \frac{1}{(1+j.8,5.10^{-4}f)(1+j.1,38.10^{-3}f-7,3.10^{-7}f^2)(1+j.5,2.10^{-4}f-7,3.10^{-7}f^2)}$$

# Filtres de Chebychev

Utilisé quand les spécifications du gabarit permettent une ondulation dans la BP  
La fonction  $T(x)$  est cherchée sous la forme :

$$T(x) = \frac{1}{\sqrt{1 + \varepsilon^2 C_n^2(x)}}$$

$\varepsilon$  est un nombre

$C_n(x)$  est un polynôme défini par récurrence

$C_0(x) = 1$  ;  $C_1(x) = x$  ;

$C_{n+1}(x) = 2x C_n(x) - C_{n-1}(x)$

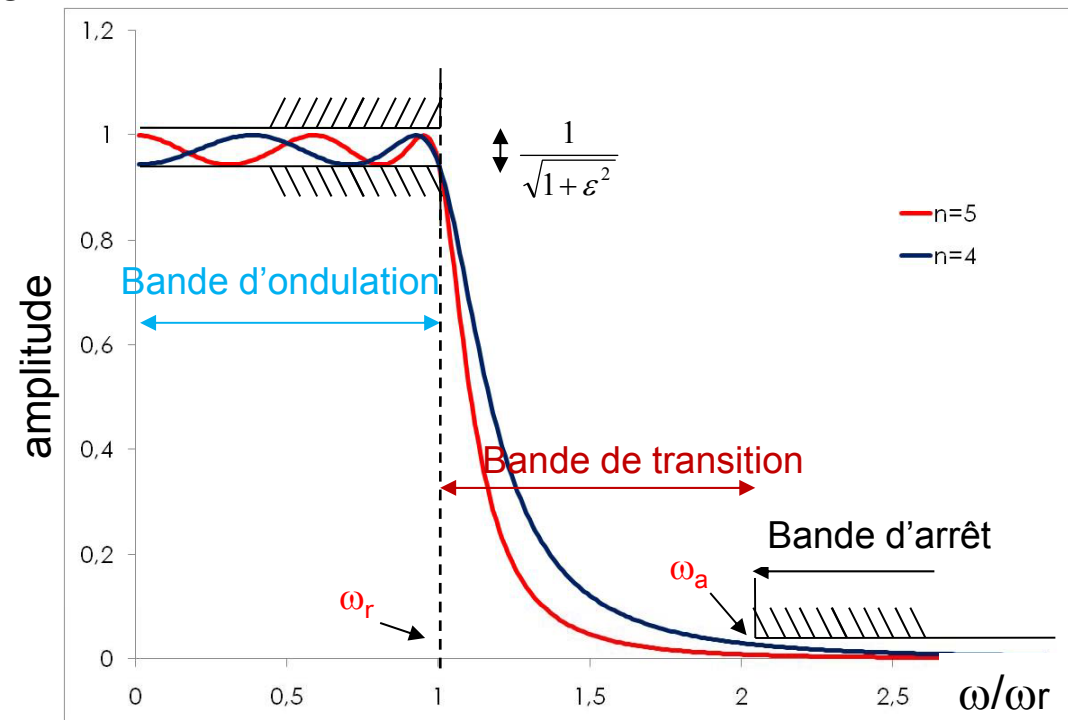
$C_n$  est oscillante dans la BP et décroissante dans la bande d'arrêt

$x = \omega/\omega_r$  où  $\omega_r$  est la pulsation délimitant la bande dans laquelle on accepte une ondulation  $r$  définie par  $r^2 = 1 + \varepsilon^2$

Normalisation par rapport à  $\omega_r$

La fréquence de coupure  $\omega_r$  est définie à  $-10 \cdot \log(1 + \varepsilon^2)$  dB qui vaut  $-3$ dB uniquement pour  $\varepsilon = 1$ .

-Le nb d'extrema présents dans la bande d'ondulation est égal à  $n$ .



## Calcul de l'ordre

La donnée de la largeur de la bande d'ondulation fixe  $\omega_r$ .

Il suffit de connaître :

- un point de la bande d'arrêt ( $\omega_a, G_{dB}(\omega_a)=G_{dB,a}$ )
- l'amplitude de l'ondulation admise  
pour déterminer l'ordre  $n$  du filtre

$$n \geq \frac{\arg \cosh \sqrt{\frac{10^{-b/10} - 1}{10^{-a/10} - 1}}}{\arg \cosh \frac{\omega_a}{\omega_r}}$$

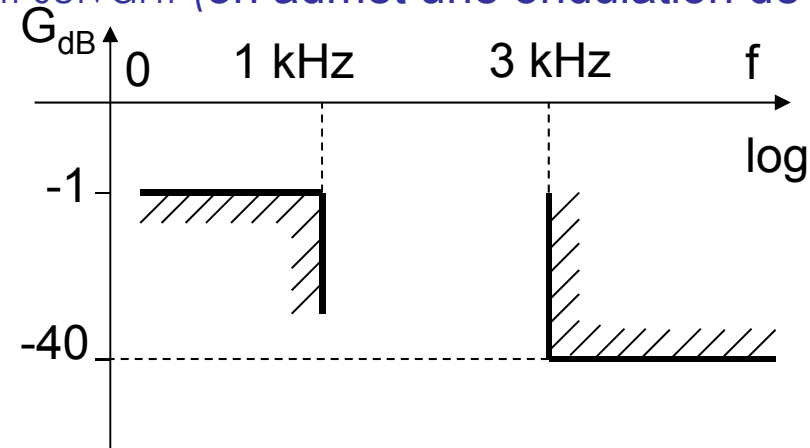
# Polynômes de Chebychev

On détermine  $T(x)$  compte tenu de l'ondulation tolérable  $r$  et de l'ordre  $n$   
Voici quelques polynômes de Chebychev :

$n$	$P(s)$ pour $r = 0.5\text{dB} = 1.059$ ou $\epsilon = 0.3493$	$P(s)$ pour $r = 1.0\text{dB} = 1.122$ ou $\epsilon = 0.5089$
1	$(1 + 0.349s)$	$(1 + 0.509s)$
2	$(1 + 0.940s + 0.659s^2)$	$(1 + 0.996s + 0.907s^2)$
3	$(1 + 1.596s)(1 + 0.548s + 0.875s^2)$	$(1 + 2.024s)(1 + 0.497s + 1.006s^2)$
4	$(1 + 2.376s + 2.806s^2)(1 + 0.330s + 0.940s^2)$	$(1 + 2.411s + 3.579s^2)(1 + 0.283s + 1.014s^2)$
5	$(1 + 2.760s)(1 + 1.230s + 2.097s^2)(1 + 0.216s + 0.965s^2)$	$(1 + 3.454s)(1 + 1.091s + 2.329s^2)(1 + 0.181s + 1.012s^2)$
6	$(1 + 3.692s + 6.370s^2)(1 + 0.719s + 1.695s^2)(1 + 0.152s + 0.977s^2)$	$(1 + 3.722s + 8.019s^2)(1 + 0.609s + 1.793s^2)(1 + 0.126s + 1.009s^2)$
7	$(1 + 3.904s)(1 + 1.818s + 3.939s^2)(1 + 0.472s + 1.477s^2)(1 + 0.112s + 0.984s^2)$	$(1 + 4.868s)(1 + 1.606s + 4.339s^2)(1 + 0.392s + 1.530s^2)(1 + 0.092s + 1.007s^2)$
8	$(1 + 4.981s + 11.36s^2)(1 + 1.037s + 2.788s^2)(1 + 0.335s + 1.349s^2)(1 + 0.086s + 0.988s^2)$	$(1 + 5.010s + 14.23s^2)(1 + 0.876s + 2.934s^2)(1 + 0.276s + 1.382s^2)(1 + 0.070s + 1.006s^2)$

## Exemple récapitulatif

Déterminer la fonction de transfert du filtre passe-bas de Chebychev qui satisfait au gabarit suivant (on admet une ondulation de 1dB dans la BP) :



1) Détermination de l'ordre du gabarit :  $r=1$  dB=1,122 donc  $\varepsilon=0,5089$   
D'où  $n>3,4$  donc on choisit  **$n=4$**

2) Détermination de la fonction de transfert normalisée à partir de la table :

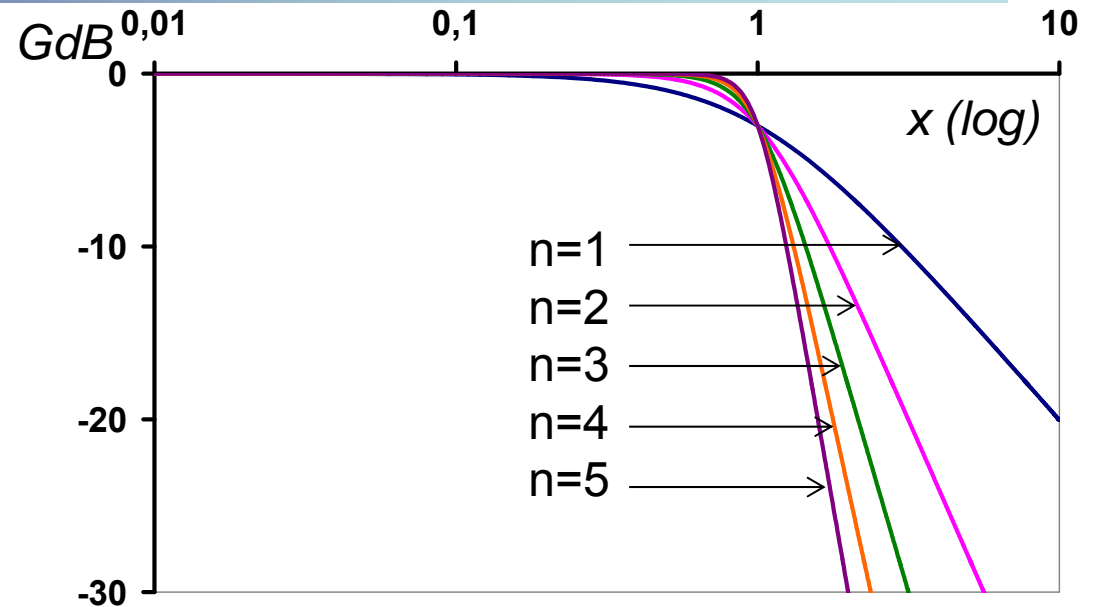
$$\underline{T}(s) = \frac{1}{(1 + 2,411s + 3,579s^2)(1 + 0,283s + 1,014s^2)}$$

3) Fonction de transfert :  $\underline{T}(j\omega) = \frac{1}{\left(1 + 2,411j\frac{\omega}{\omega_r} + \left(\sqrt{3,579}j\frac{\omega}{\omega_r}\right)^2\right)\left(1 + 0,283j\frac{\omega}{\omega_r} + \left(\sqrt{1,014}j\frac{\omega}{\omega_r}\right)^2\right)}$

# Comparaison Butterworth - Chebychev

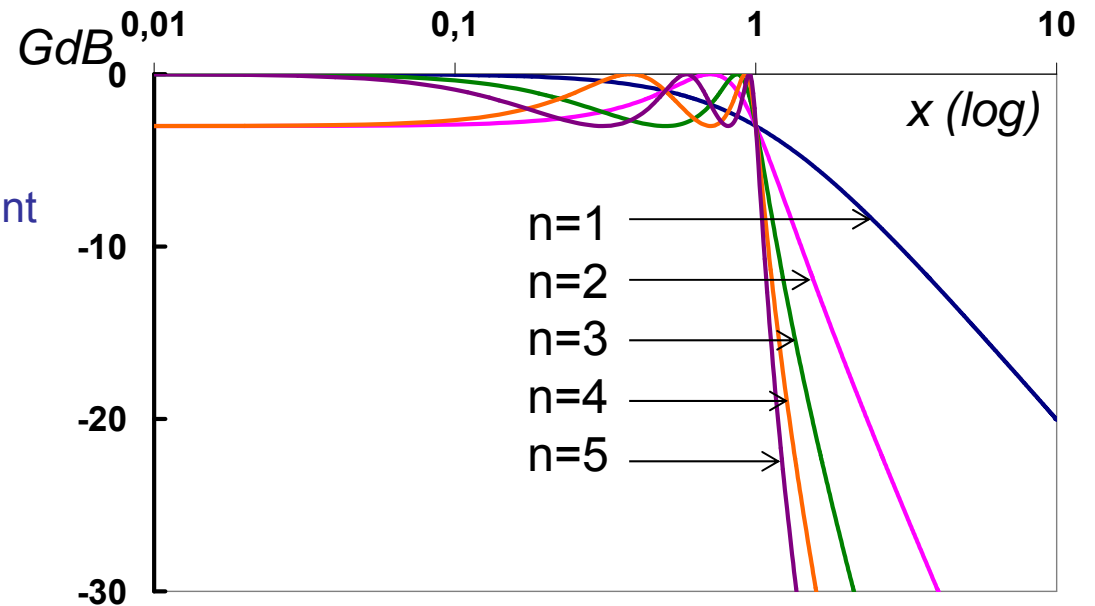
## Butterworth

La fréquence de coupure est la même quel que soit  $n$   
 Coupure de pente relativement faible (mais peut être augmentée avec  $n$  plus grand)  
 Réponse très plate dans la BP  
 Assez bien adapté aux signaux rapides

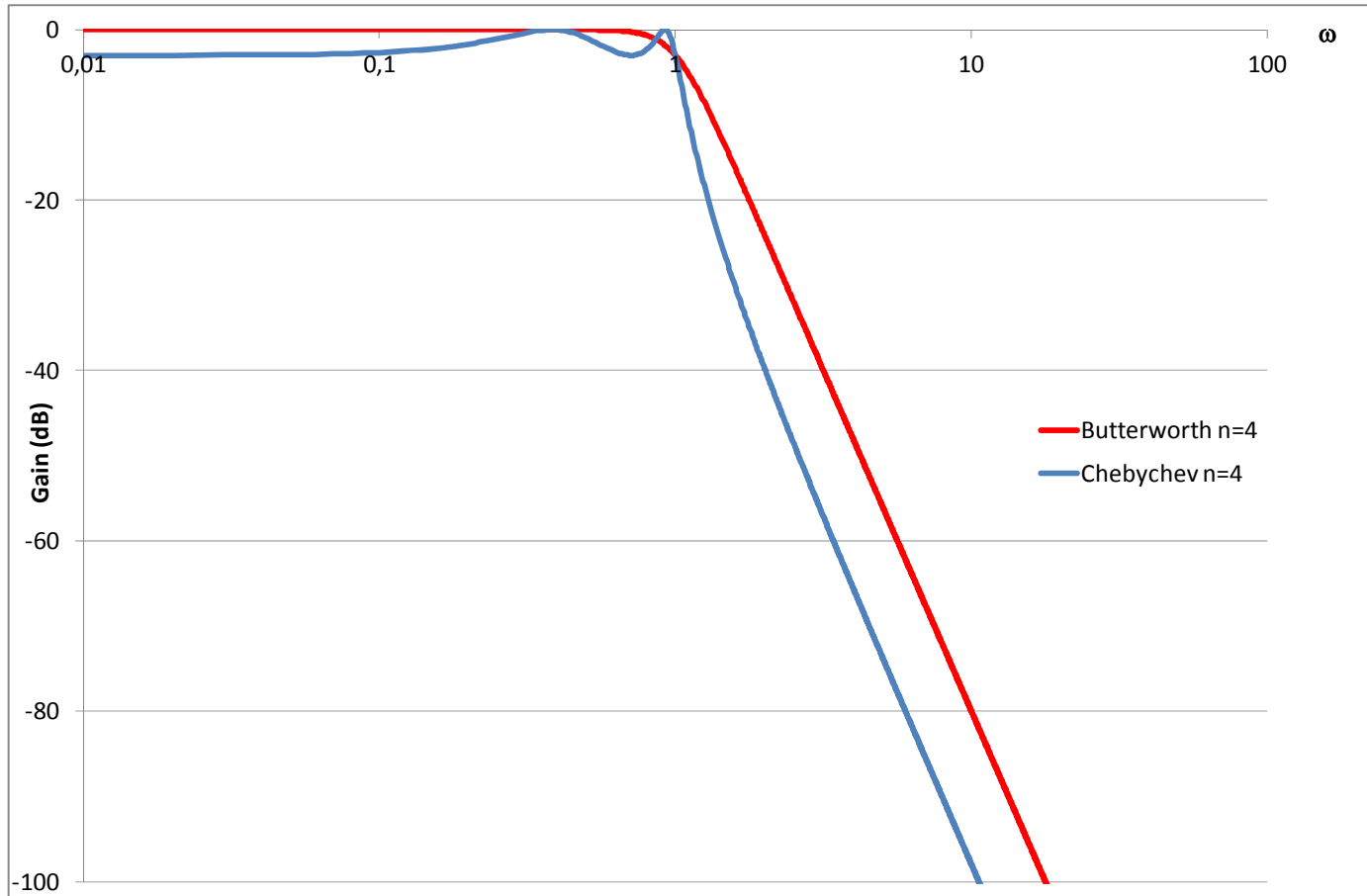


## Chebychev

Coupe à ordre identique plus rapidement que Butterworth  
 Ondulations dans la BP  
 Déconseillé pour les signaux rapides (déformation importante)



# Comparaison Butterworth - Chebychev



# Autres formes de réponse

---

## Filtres de Legendre :

- Il n'y a pas d'ondulation dans la bande passante.
- La coupure est plus raide que Butterworth, mais moins raide que Chebychev

## Filtres de Bessel :

- La coupure n'est pas très raide
- La phase est très linéaire

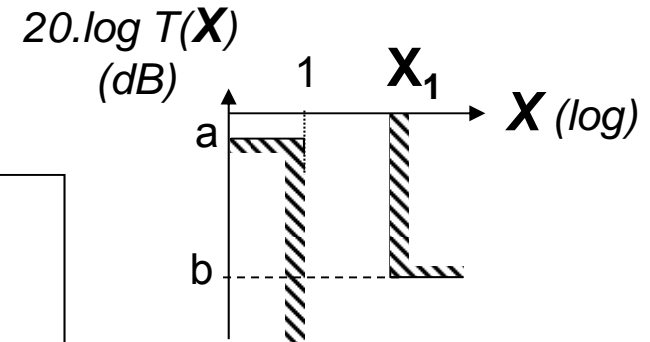
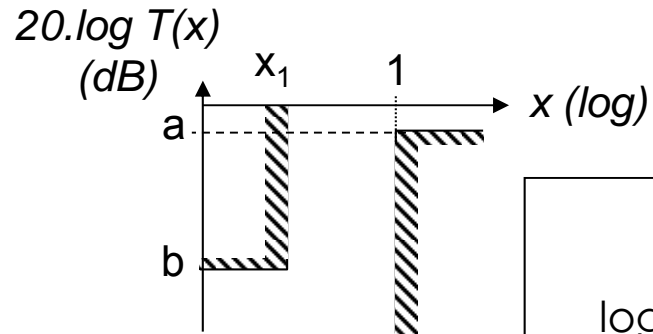
## Filtres de Cauer (non polynômiaux) :

- Comportement de Chebychev en bande passante et en bande d'arrêt
- La coupure est très raide
- La phase n'est pas linéaire (les signaux sont assez déformés).

# Transformations

Cas fréquent :  $a = -3\text{dB}$  et normalisation par rapport à  $\omega_0$

## Passe-haut $\Leftrightarrow$ passe-bas



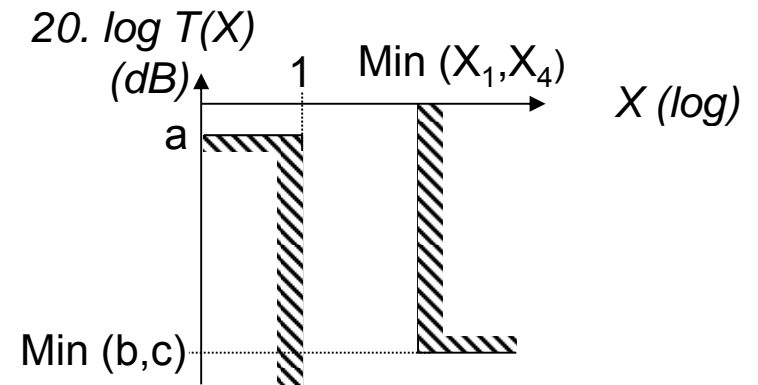
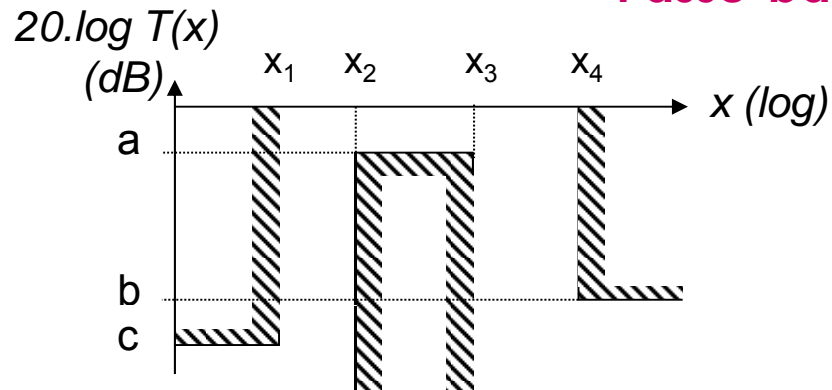
$$\underline{s} \rightarrow \underline{S} = 1 / \underline{s}$$

$$x \rightarrow X = 1 / x$$

$$\log x \rightarrow \log X = -\log x$$

Symétrie par rapport à  $x = 1$

## Passe-bande $\Leftrightarrow$ passe-bas

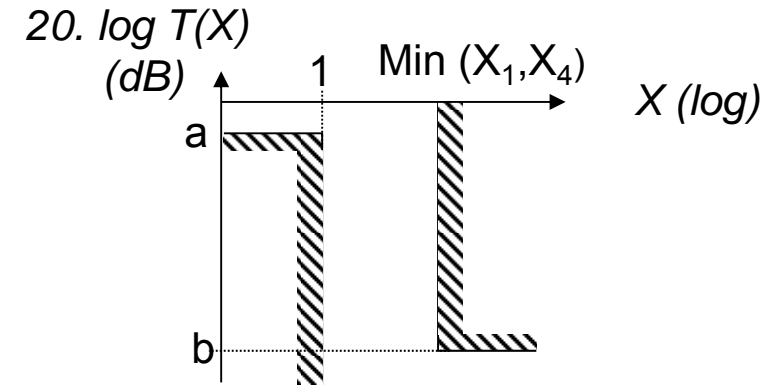
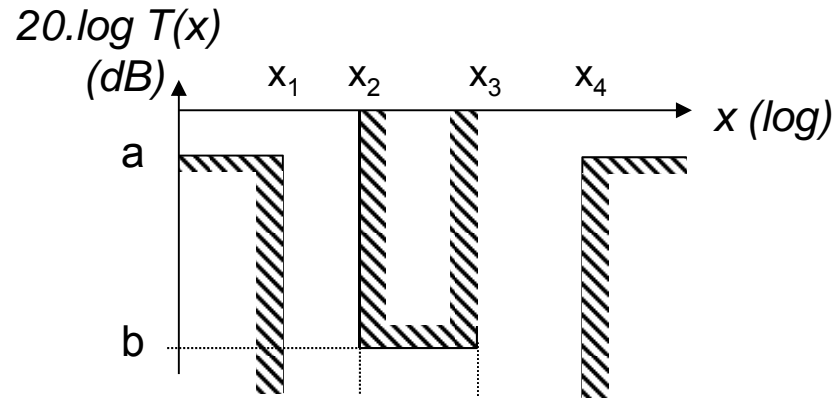


$$\underline{s} \rightarrow \underline{S} = (\underline{s} + 1/\underline{s}) / \Delta x \quad \text{avec } \Delta x = (f_3 - f_2)/f_0 \quad \text{et } f_0 = \sqrt{f_2 f_3}$$

$$x \rightarrow X = \frac{|f^2 - f_0^2|}{f(f_3 - f_2)}$$

# Transformations

Coupe-bande  $\Leftrightarrow$  passe-bas



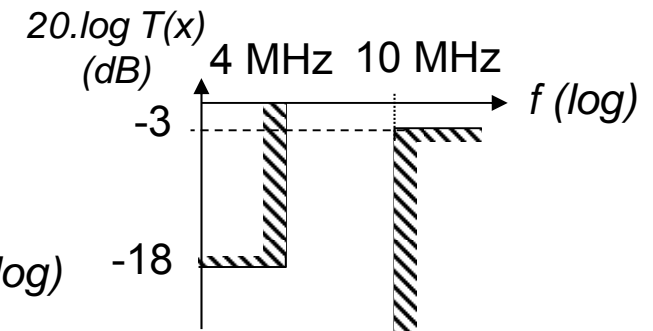
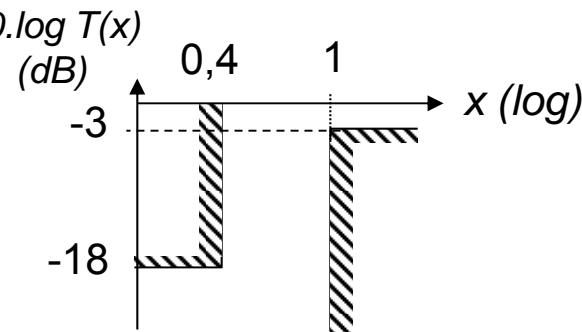
$$\underline{s} \rightarrow \underline{S} = \Delta x / (\underline{s} + 1 / \underline{s}) \quad \text{avec } \Delta x = (f_3 - f_2) / f_0 \quad \text{et } f_0 = \sqrt{f_2 f_3}$$

# Exemple

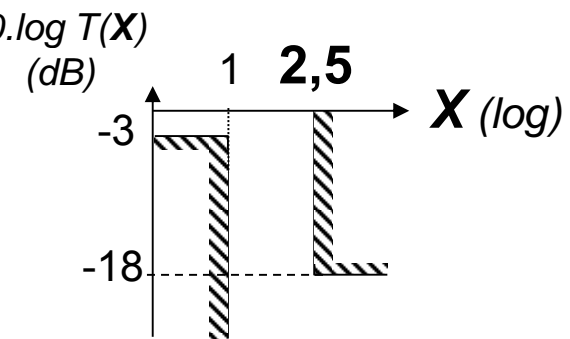
Déterminer à l'aide d'un polynôme de Butterworth la fonction de transfert  $\underline{T}(s)$  du filtre passe-haut défini par le gabarit ci-contre :

1) Normalisation du gabarit :

$$f_0 = 10 \text{ MHz}$$



2) Transposition vers le passe-bas correspondant :



3) Étude du filtre passe-bas :  $n > 2,25$  donc  $n=3$

$$\underline{T}(\underline{s}) = \frac{1}{(1+\underline{s})(1+\underline{s}+\underline{s}^2)} = \frac{1}{1+2\underline{s}+2\underline{s}^2+\underline{s}^3}$$

4) Transformation vers le passe-haut :

$$\underline{T}(\underline{s}) = \frac{\underline{s}^3}{1+2\underline{s}+2\underline{s}^2+\underline{s}^3}$$

soit

$$\underline{T}(j\omega) = \frac{\left(\frac{j\omega}{\omega_0}\right)^3}{1+2\left(\frac{j\omega}{\omega_0}\right)+2\left(\frac{j\omega}{\omega_0}\right)^2+\left(\frac{j\omega}{\omega_0}\right)^3}$$

---

# Filtrage analogique

I – Introduction

II – Etude des filtres de Butterworth et de Chebychev

**III – Filtres actifs**

IV – Filtres à capacités commutées

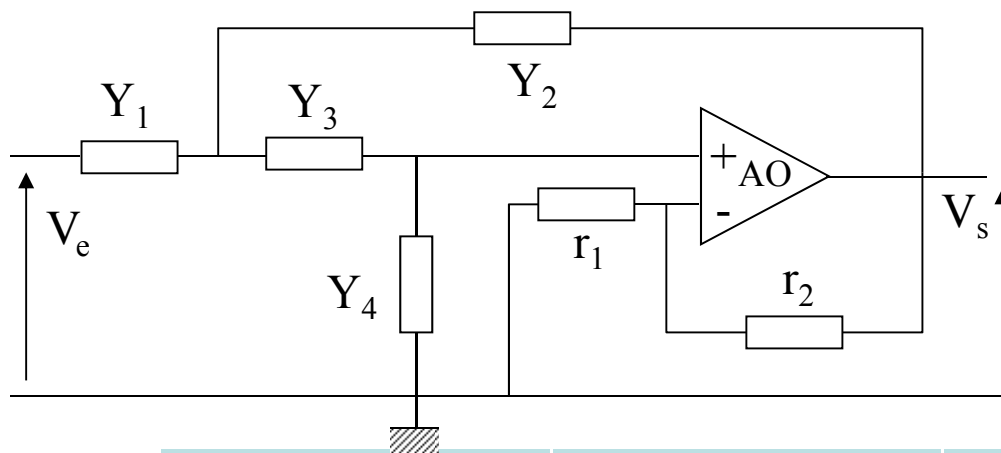
# Filtrage actif

---

- Principe = mise en cascade de cellules élémentaires du second ordre à base d'ALI
- Intérêts
  - cellules élémentaires de faible impédance de sortie (et forte impédance d'entrée) => on peut utiliser la mise en facteur de  $\underline{T}(s)$
  - Conception et mise en œuvre simplifiée
  - Intégration possible (car pas d'inductance)
- Limitations
  - Sensibilité aux variations des valeurs des composants
  - Distorsion du signal : saturation -> excursion limitée  
slew rate -> bande passante limitée
  - Nécessite des alimentations continues pour les ALI (consommation d'énergie)
  - Bruit généré par les ALI
  - Risque d'instabilité (systèmes à contre-réaction)

# Filtres de Sallen-Key

## Cellule de Sallen-Key d'ordre 2



$$\frac{V_s}{V_e} = \frac{K Y_1 Y_3}{(Y_1 + Y_2)(Y_3 + Y_4) + Y_3(Y_4 - K Y_2)}$$

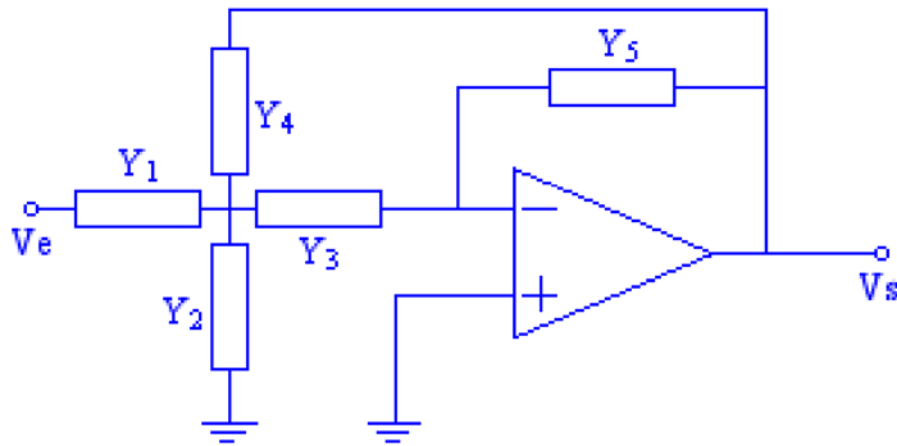
avec  $K = 1 + r_2/r_1$

On choisit les admittances  $Y_i$  (capacités ou résistances) suivant le type de filtre à réaliser

	Passe-bas	Passe-haut	Passe-bande
Résistances	$Y_1$ et $Y_3$	$Y_2$ et $Y_4$	$Y_1, Y_2$
Capacités	$Y_2$ et $Y_4$	$Y_1$ et $Y_3$	$Y_3$
			$Y_4 = R // C$

# Filtres de Rauch

## Cellule de Rauch d'ordre 2



$$\frac{V_s}{V_e} = \frac{-Y_1 Y_3}{Y_5 (Y_1 + Y_2 + Y_3 + Y_4) + Y_3 Y_4}$$

*Voir TD pour le calcul*

On choisit les admittances  $Y_i$  (capacités ou résistances) suivant le type de filtre à réaliser

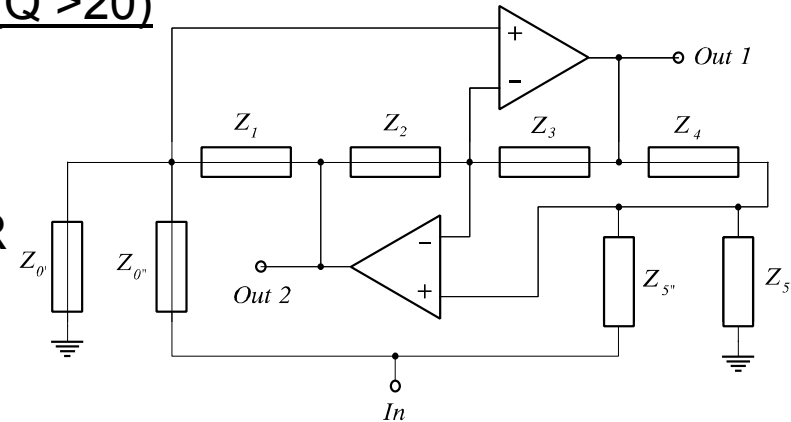
	Passe-bas	Passe-haut	Passe-bande
Résistances	$Y_1, Y_3$ et $Y_4$	$Y_2$ et $Y_5$	$Y_1, Y_2$ et $Y_5$
Capacités	$Y_2$ et $Y_5$	$Y_1, Y_3$ et $Y_4$	$Y_3$ et $Y_4$

# Autres types de filtres

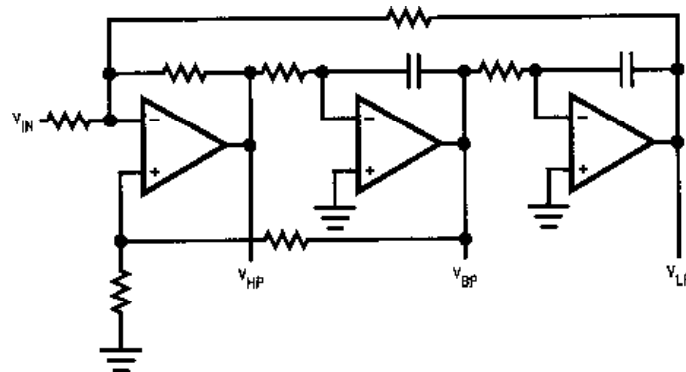
## Filtres actifs à convertisseur d'impédance ( $Q > 20$ )

Exemple : filtre à girateur d'Antoniou

Les impédances  $Z_i$  sont des C ou des R



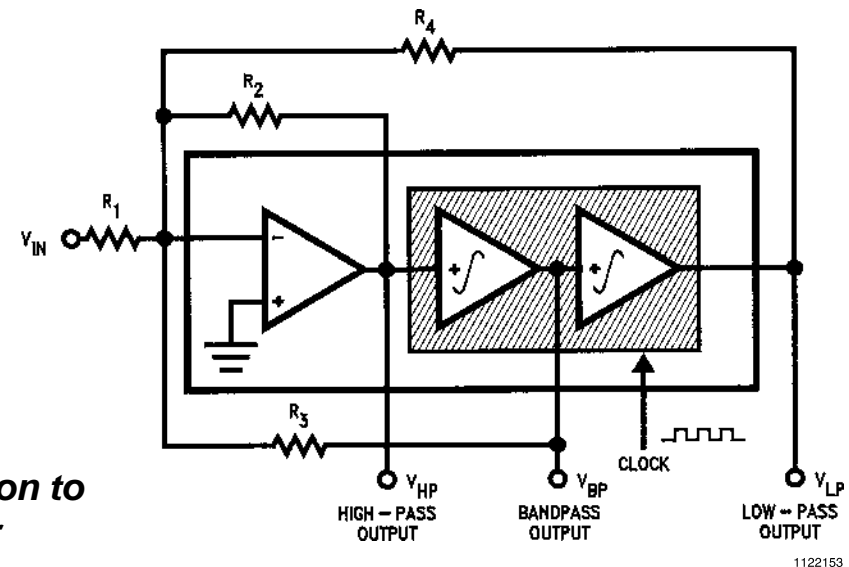
## Filtres actifs à variables d'états



(d) Universal State-Variable 2nd-Order Active Filter 1122152

From TI Application Note 779 A Basic Introduction to Filters - Active, Passive, and Switched Capacitor

## Filtres « Capa Com » à variables d'états (MF10)



1122153

# Quelle technologie choisir ?

Technologie	Composants	Spécificités	Exemples d'application
Filtres numériques (voir cours STNS en 2A)	Circuits logiques intégrés (FPGA, microcontrôleur, ...)	Signaux numérisés (pré et post filtrage nécessaire !) $F < 100\text{MHz}$ (re)programmable Production en grande série possible	
Filtres passifs	Composants discrets L et C, Quartz pour les HF	$F$ élevée ( $< 500\text{MHz}$ ) Pas d'alimentation Non intégrable	Anti-repliement Rejection du bruit d'alimentation
Filtres actifs	AO, R et C	$F < 1\text{ MHz}$ Tension de sortie limitée	Anti-repliement Audio « High Fidelity »
Filtres à capacité commutée	AO, interrupteurs commandés MOS, R et C intégrés	$F < \text{qq MHz}$ Intégrable Fréquence programmable et précise	Détection de « tonalité » Analyseur de spectre

# Comparaison filtre actif - filtre passif

---

## Filtre passif :

- Fonctionne sans alimentation et à des fréquences élevées
- L'utilisation de bobines et de capacités permet d'obtenir tous types de réponse
- Nécessite des bobines : cher (bobine à faible tolérance), encombrant, non-idéal (résistance => facteur de qualité faible en basses fréquences), risque de couplage parasite entre bobines
- Difficulté de mise en œuvre pour les filtres d'ordres élevés (étages dépendants)
- La fonction de transfert dépend de la charge qui doit donc être déterminée très précisément
- Performants jusque 500 MHz

## Filtre actif :

- Moins cher en grandes quantités
- Petite taille => parasites moindres
- Intégration possible
- Nécessité d'alimentation de tension, consommation d'énergie
- Excursion du signal limité par la saturation des AO et par le bruit des AO
- Les imperfections des AO à hautes fréquences modifient la fonction de transfert du filtre
- La contre-réaction sur les AO peut conduire à l'instabilité du système
- Utilisation pour des fréquences inférieures à quelques 100 kHz